

ISSN: 2965-0291

Boletim

de monitoramento climático de
grandes bacias hidrográficas



Bacia Amazônica

Ano III, Volume 6, Número 3

Manaus, 15 de junho de 2023



MINISTÉRIO DA
CIÊNCIA, TECNOLOGIA
E INOVAÇÕES



Boletim de monitoramento climático de grandes bacias hidrográficas: Bacia Amazônica

Editor Chefe Renato Cruz Senna
Meteorologista
Pesquisador - CODAM, INPA

Editoração Renato Cruz Senna
Luan Rogério Rodrigues Carvalho
Ricardo Luiz Godinho Dallarosa

Periodicidade Semanal

Revisão e Diagramação Inácio de Oliveira Lima Neto

Contato Instituto Nacional de Pesquisas da Amazônia - INPA
Av. André Araújo, 2.936 - Petrópolis
CEP 69067-375 - Manaus -AM, Brasil
E-mail: renato.senna@inpa.gov.br
Telefone: (92) 3643-3170



*Esta obra está licenciada com uma Licença Creative Commons
Atribuição - Não Comercial - Sem Derivações 4.0 Internacional.*



ÍNDICE

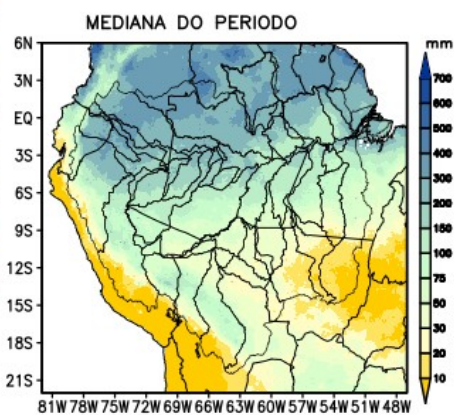
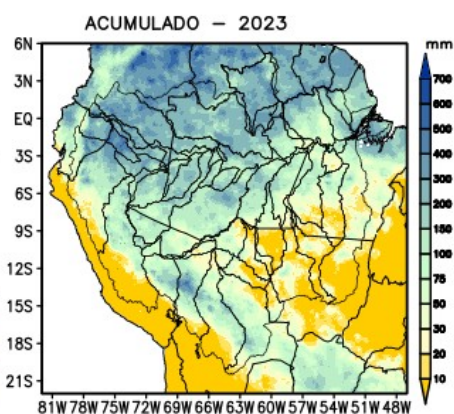
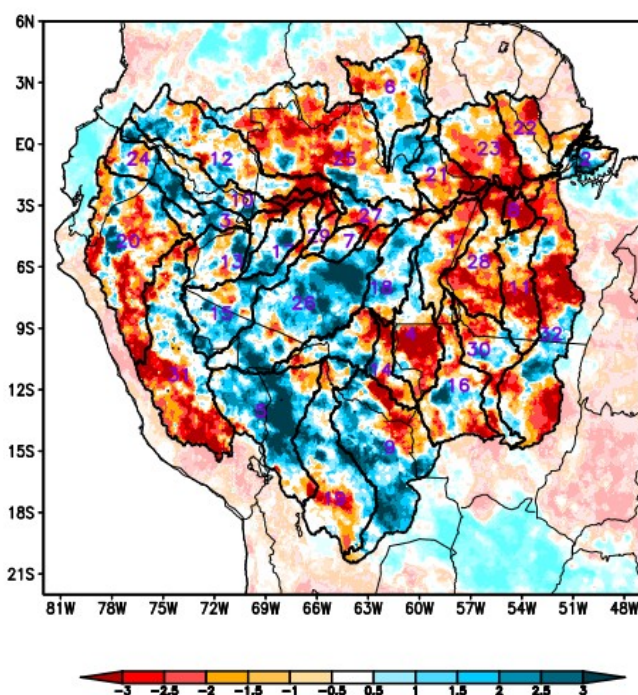
| | |
|----|---|
| 3 | <i>Condições atuais</i> |
| 4 | <i>Bacia do Rio Branco Bacia do Rio Negro Bacia do Rio Marañon</i> |
| 5 | <i>Bacia do Rio Ucayali Bacia do Rio Napo Curso principal do Rio Amazonas (Peru)</i> |
| 6 | <i>Bacia do Rio Javari Bacia do Rio Içá Bacia do Rio Jutáí</i> |
| 7 | <i>Bacia do Rio Juruá Bacia do Rio Japurá Bacia do Rio Tefé</i> |
| 8 | <i>Bacia do Rio Coari Bacia do Rio Purus Curso principal do Rio Solimões</i> |
| 9 | <i>Bacia do Rio Beni Bacia do Rio Mamoré Bacia do Rio Guaporé</i> |
| 10 | <i>Bacia do Rio Ji-Paraná Bacia do Rio Aripuanã Bacia do Rio Madeira</i> |
| 11 | <i>Bacias da margem esquerda do Rio Amazonas (Amazonas) Bacia do Rio Abacaxis Bacia do Rio Juruena</i> |
| 12 | <i>Bacia do Rio Teles Pires Bacia do Rio Tapajós Bacias da margem esquerda do Rio Amazonas (noroeste do Pará)</i> |
| 13 | <i>Bacia do Rio Curuá Una Bacias da margem esquerda do Rio Amazonas (nordeste do Pará) Bacia do Rio Iriri</i> |
| 14 | <i>Bacia do Rio Xingu Curso principal do Rio Solimões</i> |
| 15 | <i>Previsão multi-modelo subsazonal</i> |
| 17 | <i>Valores de referência</i> |
| 18 | <i>Categorização das anomalias de precipitação</i> |
| 19 | <i>Comportamento semanal das anomalias (gráficos auxiliares)</i> |
| 23 | <i>Diagrama unifilar das bacias representadas</i> |

Condições atuais

Mapas das condições observadas de precipitação, gráficos individuais por bacias são produzidos a partir dos dados MERGE/GPM gerados pelo INPE/CPTEC, considerando como climatologia o período de 2000 a 2022. **Entre os dias 17 de maio e 15 de junho de 2023, o comportamento das chuvas sobre a Bacia Amazônica apresentou deficit (laranja) de precipitação caracterizando o curso principal do Amazonas em território brasileiro, bacias dos rios Abacaxis, Aripuanã, Branco, Curuá Una, Iriri, Ji-Paraná, Juruena, Marañon, bacias da margem esquerda do Amazonas no nordeste do Amazonas, nordeste e noroeste do Pará, Negro, Tapajós, Tefé, Teles Pires, Ucayali, Xingu e curso principal do Solimões. Áreas de anomalias positivas (azul) de precipitação predominaram sobre o curso principal do Rio Amazonas em território peruano, bacias dos rios Beni, Guaporé, Juruá, Jutai, Napo e Purus. Bacia dos rios Coari, Içá, Japurá, Javari, Madeira e Mamoré, alternando áreas com anomalias positivas e negativas, foram consideradas em condições de normalidade em relação a climatologia do período.**

ANOMALIA DE CHUVA CATEGORIZADA

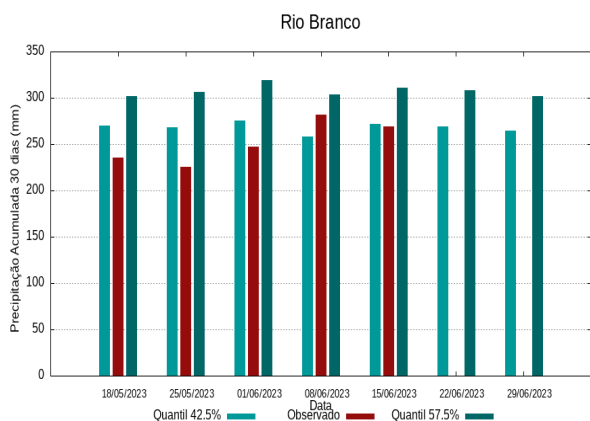
Período: 17/05/2023 – 15/06/2023



| | | | | | | | |
|---|---------------|----|-----------|----|------------------|----|-------------|
| 1 | Abacaxis | 9 | Guaporé | 17 | Jutai | 25 | Negro |
| 2 | Amazonas (BR) | 10 | Içá | 18 | Madeira | 26 | Purus |
| 3 | Amazonas (PE) | 11 | Iriri | 19 | Mamoré | 27 | Solimões |
| 4 | Aripuanã | 12 | Japurá | 20 | Marañon | 28 | Tapajós |
| 5 | Beni | 13 | Javari | 21 | Marg Esq (AM) | 29 | Tefé |
| 6 | Branco | 14 | Ji-Paraná | 22 | Marg Esq (PA) NE | 30 | Teles Pires |
| 7 | Coari | 15 | Juruá | 23 | Marg Esq (PA) NW | 31 | Ucayali |
| 8 | Curuá Una | 16 | Juruena | 24 | Napo | 32 | Xingu |

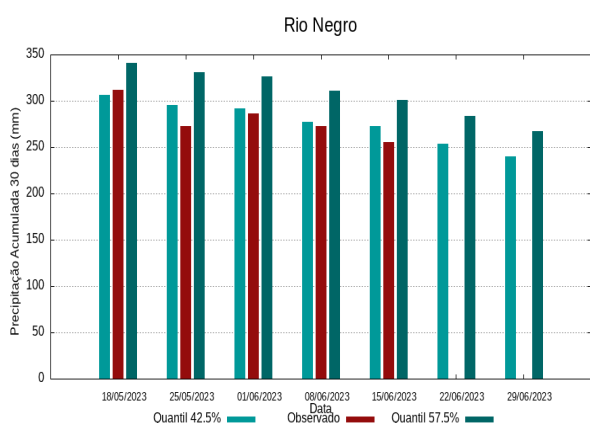
Análise individual por bacia hidrográfica

Bacia do Rio Branco



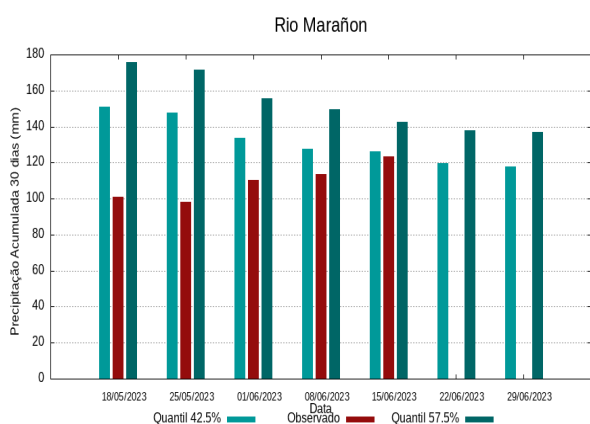
O período em análise indica chuvas com registros variando entre **272 e 311 mm** sendo considerados normais (referência quantis 42.5% e 57.5%). Em **15 de junho de 2023** foram observados **269 mm** de precipitação média acumulada sobre a bacia, o cálculo da média do índice de anomalia categorizada na área da bacia o valor de **-0.5**, classifica a bacia em condição de **tendência a seco**. Nas próximas semanas o comportamento climático indica **manutenção** dos volumes de chuva, o modelo de prognóstico subsazonal sugere um comportamento **seco ou tendência a seco**.

Bacia do Rio Negro



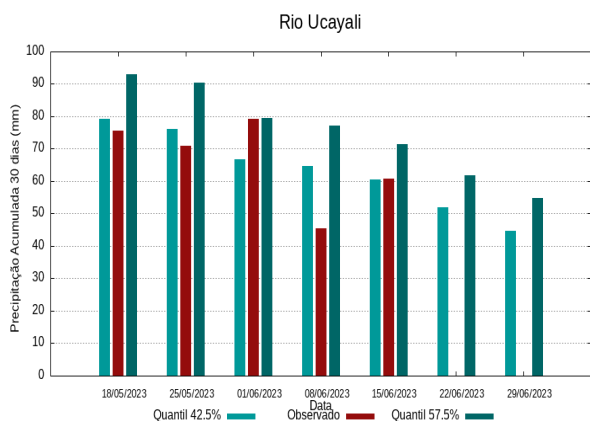
O período em análise indica chuvas com registros variando entre **272 e 301 mm** sendo considerados normais (referência quantis 42.5% e 57.5%). Em **15 de junho de 2023** foram observados **256 mm** de precipitação média acumulada sobre a bacia, no cálculo da média do índice de anomalia categorizada na área da bacia o valor de **-0.8**, classifica a bacia em condição de **tendência a seco**. Nas próximas semanas o comportamento climático indica **redução** dos volumes de chuva, o modelo de prognóstico subsazonal sugere um comportamento **seco ou tendência a seco**.

Bacia do Rio Maraňon



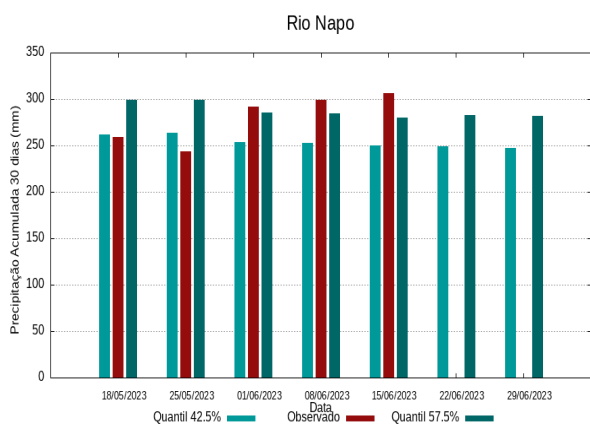
O período em análise indica chuvas com registros variando entre **126 e 143 mm** sendo considerados normais (referência quantis 42.5% e 57.5%). Em **15 de junho de 2023** foram observados **123 mm** de precipitação média acumulada sobre a bacia, no cálculo da média do índice de anomalia categorizada na área da bacia o valor de **-1.0**, classifica a bacia em condição de **seco**. Nas próximas semanas o comportamento climático indica **manutenção** dos volumes de chuva, o modelo de prognóstico subsazonal sugere um comportamento **seco ou tendência a muito seco**.

Bacia do Rio Ucayali



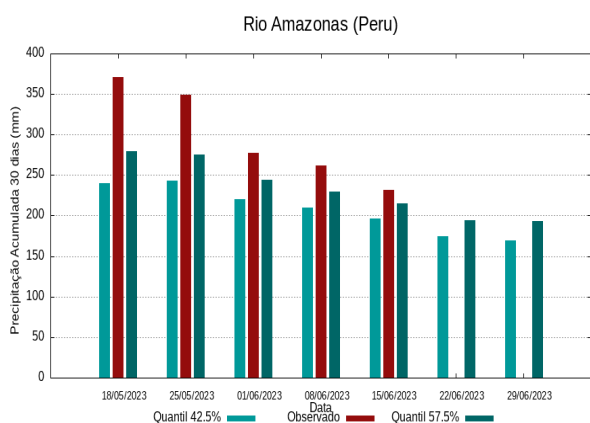
O período em análise indica chuvas com registros variando entre **61 e 71 mm** sendo considerados normais (referência quantis 42.5% e 57.5%). Em **15 de junho de 2023** foram observados **61 mm** de precipitação média acumulada sobre a bacia, no cálculo da média do índice de anomalia categorizada na área da bacia o valor de **-1.1**, classifica a bacia em condição de **seco**. Nas próximas semanas o comportamento climático indica **redução** dos volumes de chuva, o modelo de prognóstico subsazonal sugere um comportamento **seco ou tendência a muito seco**.

Bacia do Rio Napo



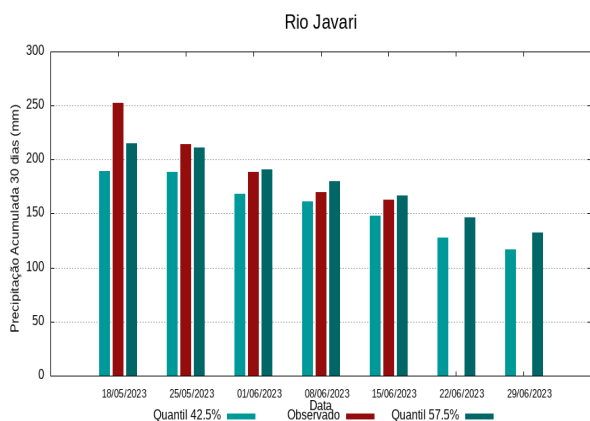
O período em análise indica chuvas com registros variando entre **250 e 280 mm** sendo considerados normais (referência quantis 42.5% e 57.5%). Em **15 de junho de 2023** foram observados **307 mm** de precipitação média acumulada sobre a bacia, no cálculo da média do índice de anomalia categorizada na área da bacia o valor de **0.6**, classifica a bacia em condição de **tendência a chuvoso**. Nas próximas semanas o comportamento climático indica **manutenção** dos volumes de chuva, o modelo de prognóstico subsazonal sugere um comportamento **próximo da normalidade ou tendência a chuvoso**.

Curso principal do Rio Amazonas (Peru)



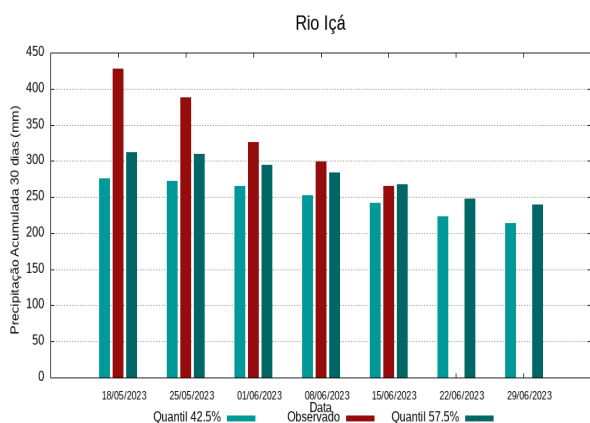
O período em análise indica chuvas com registros variando entre **197 e 215 mm** sendo considerados normais (referência quantis 42.5% e 57.5%). Em **15 de junho de 2023** foram observados **232 mm** de precipitação média acumulada sobre a bacia, no cálculo da média do índice de anomalia categorizada na área da bacia o valor de **0.6**, classifica a bacia em condição de **tendência a chuvoso**. Nas próximas semanas o comportamento climático indica **redução** dos volumes de chuva, o modelo de prognóstico subsazonal sugere um comportamento **próximo da normalidade ou tendência a chuvoso**.

Bacia do Rio Javari



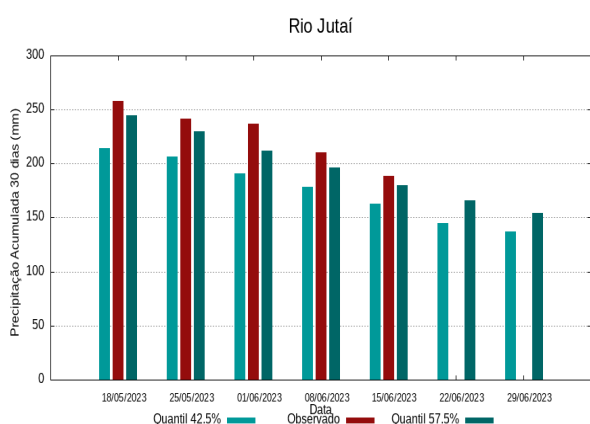
O período em análise indica chuvas com registros variando entre **148 e 166 mm** sendo considerados normais (referência quantis 42.5% e 57.5%). Em **15 de junho de 2023** foram observados **163 mm** de precipitação média acumulada sobre a bacia, no cálculo da média do índice de anomalia categorizada na área da bacia o valor de **0.2**, classifica a bacia em condição de **normalidade**. Nas próximas semanas o comportamento climático indica **redução** dos volumes de chuva, o modelo de prognóstico subsazonal sugere um comportamento **próximo da normalidade ou tendência a seco**.

Bacia do Rio Içá



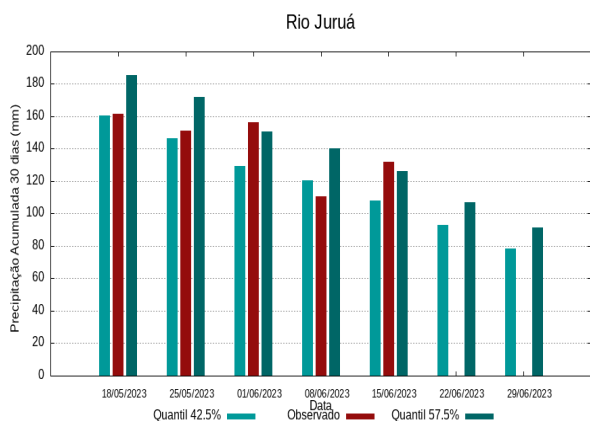
O período em análise indica chuvas com registros variando entre **242 e 267 mm** sendo considerados normais (referência quantis 42.5% e 57.5%). Em **15 de junho de 2023** foram observados **266 mm** de precipitação média acumulada sobre a bacia, no cálculo da média do índice de anomalia categorizada na área da bacia o valor de **0.2**, classifica a bacia em condição de **normalidade**. Nas próximas semanas o comportamento climático indica **redução** dos volumes de chuva, o modelo de prognóstico subsazonal sugere um comportamento **próximo da normalidade ou tendência a seco**.

Bacia do Rio Jutai



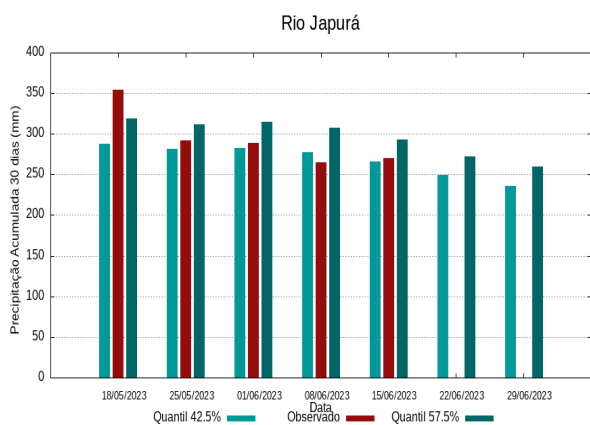
O período em análise indica chuvas com registros variando entre **163 e 180 mm** sendo considerados normais (referência quantis 42.5% e 57.5%). Em **15 de junho de 2023** foram observados **188 mm** de precipitação média acumulada sobre a bacia, no cálculo da média do índice de anomalia categorizada na área da bacia o valor de **0.6**, classifica a bacia em condição de **tendência a chuvoso**. Nas próximas semanas o comportamento climático indica **redução** dos volumes de chuva, o modelo de prognóstico subsazonal sugere um comportamento **próximo da normalidade ou tendência a chuvoso**.

Bacia do Rio Juruá



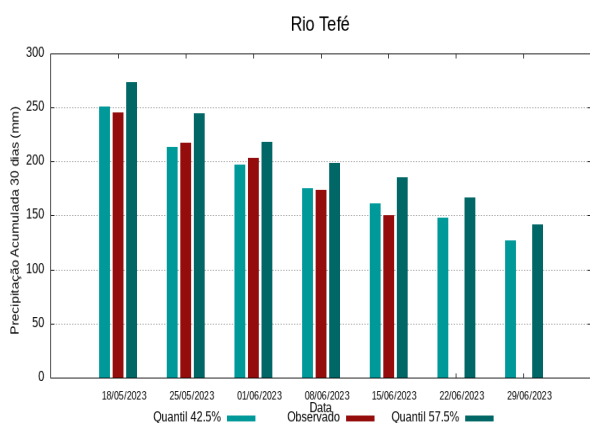
O período em análise indica chuvas com registros variando entre **108 e 126 mm** sendo considerados normais (referência quantis 42.5% e 57.5%). Em **15 de junho de 2023** foram observados **132 mm** de precipitação média acumulada sobre a bacia, no cálculo da média do índice de anomalia categorizada na área da bacia o valor de **0.6**, classifica a bacia em condição de **tendência a chuvoso**. Nas próximas semanas o comportamento climático indica **redução** dos volumes de chuva, o modelo de prognóstico subsazonal sugere um comportamento **próximo da normalidade**.

Bacia do Rio Japurá



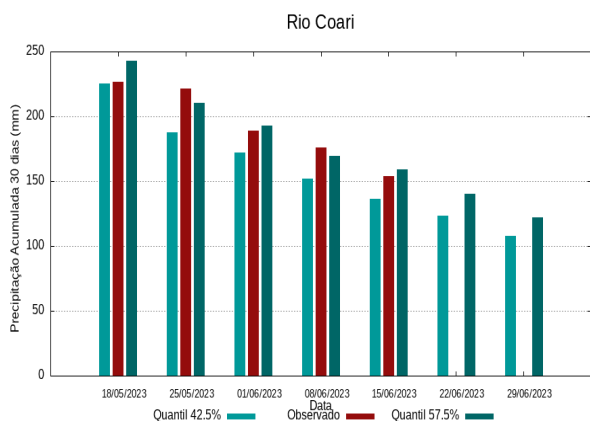
O período em análise indica chuvas com registros variando entre **266 e 293 mm** sendo considerados normais (referência quantis 42.5% e 57.5%). Em **15 de junho de 2023** foram observados **270 mm** de precipitação média acumulada sobre a bacia, no cálculo da média do índice de anomalia categorizada na área da bacia o valor de **-0.3**, classifica a bacia em condição de **normalidade**. Nas próximas semanas o comportamento climático indica **redução** dos volumes de chuva, o modelo de prognóstico subsazonal sugere um comportamento **próximo da normalidade ou tendência a seco**.

Bacia do Rio Tefé



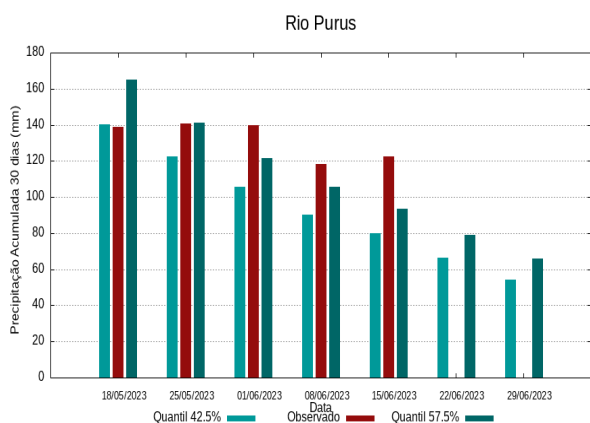
O período em análise indica chuvas com registros variando entre **161 e 186 mm** sendo considerados normais (referência quantis 42.5% e 57.5%). Em **15 de junho de 2023** foram observados **151 mm** de precipitação média acumulada sobre a bacia, no cálculo da média do índice de anomalia categorizada na área da bacia o valor de **-0.9**, classifica a bacia em condição de **tendência a seco**. Nas próximas semanas o comportamento climático indica **redução** dos volumes de chuva, o modelo de prognóstico subsazonal sugere um comportamento **seco ou tendência a seco**.

Bacia do Rio Coari



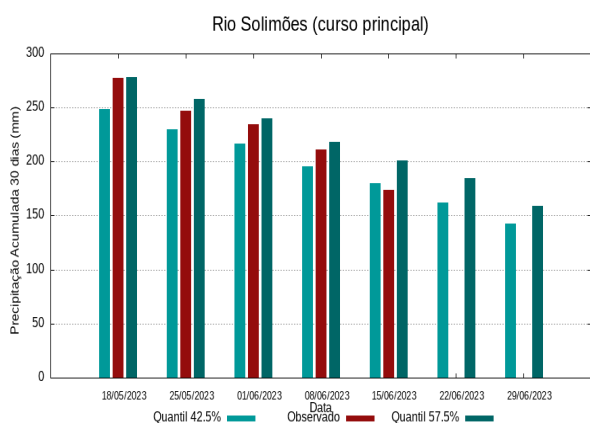
O período em análise indica chuvas com registros variando entre **136 e 159 mm** sendo considerados normais (referência quantis 42.5% e 57.5%). Em **15 de junho de 2023** foram observados **154 mm** de precipitação média acumulada sobre a bacia, no cálculo da média do índice de anomalia categorizada na área da bacia o valor de **0.0**, classifica a bacia em condição de **normalidade**. Nas próximas semanas o comportamento climático indica **redução** dos volumes de chuva, o modelo de prognóstico subsazonal sugere um comportamento **próximo da normalidade ou tendência a seco**.

Bacia do Rio Purus



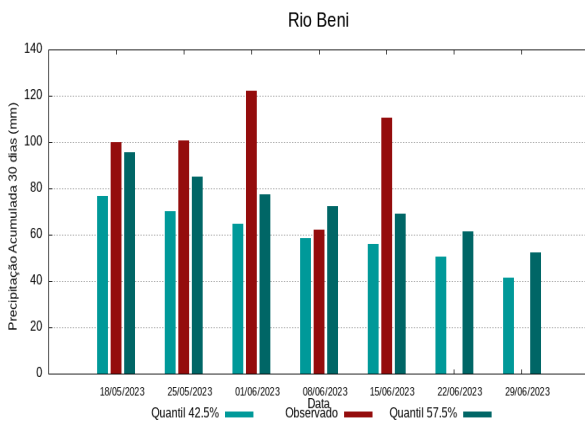
O período em análise indica chuvas com registros variando entre **80 e 94 mm** sendo considerados normais (referência quantis 42.5% e 57.5%). Em **15 de junho de 2023** foram observados **123 mm** de precipitação média acumulada sobre a bacia, no cálculo da média do índice de anomalia categorizada na área da bacia o valor de **1.2**, classifica a bacia em condição de **chuvoso**. Nas próximas semanas o comportamento climático indica **redução** dos volumes de chuva, o modelo de prognóstico subsazonal sugere um comportamento **chuvoso ou tendência a chuvoso**.

Curso principal do Rio Solimões



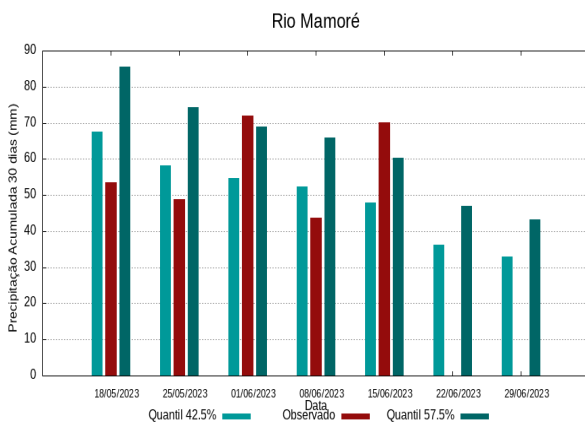
O período em análise indica chuvas com registros variando entre **180 e 201 mm** sendo considerados normais (referência quantis 42.5% e 57.5%). Em **15 de junho de 2023** foram observados **173 mm** de precipitação média acumulada sobre a bacia, no cálculo da média do índice de anomalia categorizada na área da bacia o valor de **-0.7**, classifica a bacia em condição de **tendência a seco**. Nas próximas semanas o comportamento climático indica **redução** dos volumes de chuva, o modelo de prognóstico subsazonal sugere um comportamento **seco ou tendência a seco**.

Bacia do Rio Beni



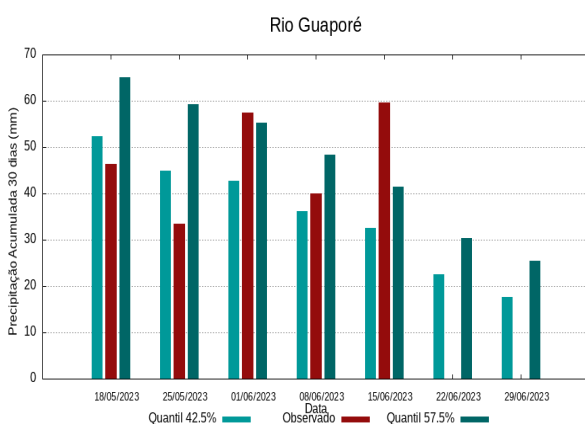
O período em análise indica chuvas com registros variando entre **56 e 69 mm** sendo considerados normais (referência quantis 42.5% e 57.5%). Em **15 de junho de 2023** foram observados **111 mm** de precipitação média acumulada sobre a bacia, no cálculo da média do índice de anomalia categorizada na área da bacia o valor de **1.2**, classifica a bacia em condição de **chuvoso**. Nas próximas semanas o comportamento climático indica **redução** dos volumes de chuva, o modelo de prognóstico subsazonal sugere um comportamento **próximo da normalidade ou tendência a chuvoso**.

Bacia do Rio Mamoré



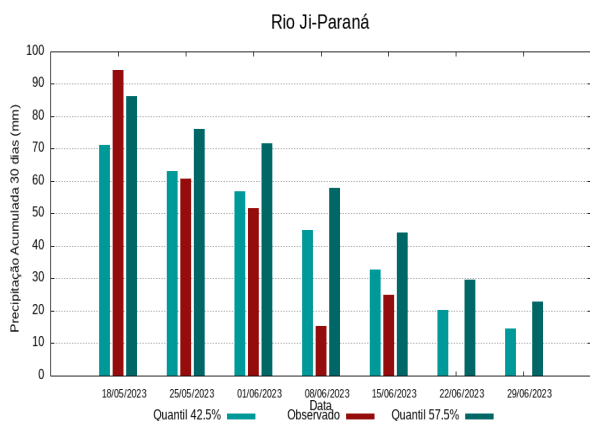
O período em análise indica chuvas com registros variando entre **48 e 60 mm** sendo considerados normais (referência quantis 42.5% e 57.5%). Em **15 de junho de 2023** foram observados **42 mm** de precipitação média acumulada sobre a bacia, no cálculo da média do índice de anomalia categorizada na área da bacia o valor de **0.2**, classifica a bacia em condição de **normalidade**. Nas próximas semanas o comportamento climático indica **redução** dos volumes de chuva, o modelo de prognóstico subsazonal sugere um comportamento **próximo da normalidade ou tendência a seco**.

Bacia do Rio Guaporé



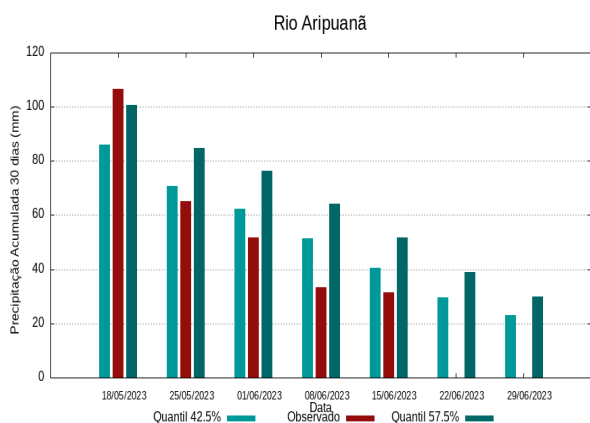
O período em análise indica chuvas com registros variando entre **33 e 42 mm** sendo considerados normais (referência quantis 42.5% e 57.5%). Em **15 de junho de 2023** foram observados **60 mm** de precipitação média acumulada sobre a bacia, no cálculo da média do índice de anomalia categorizada na área da bacia o valor de **0.7**, classifica a bacia em condição de **tendência a chuvoso**. Nas próximas semanas o comportamento climático indica **redução** dos volumes de chuva, o modelo de prognóstico subsazonal sugere um comportamento **próximo da normalidade ou tendência a chuvoso**.

Bacia do Rio Ji-Paraná



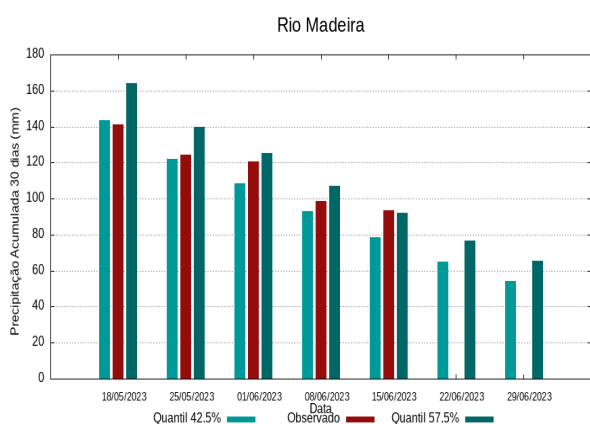
O período em análise indica chuvas com registros variando entre **33 e 44 mm** sendo considerados normais (referência quantis 42.5% e 57.5%). Em **15 de junho de 2023** foram observados **25 mm** de precipitação média acumulada sobre a bacia, no cálculo da média do índice de anomalia categorizada na área da bacia, o valor de **-1.2**, classifica a bacia em condição de **seco**. Nas próximas semanas o comportamento climático indica **redução** dos volumes de chuva, o modelo de prognóstico subsazonal sugere um comportamento **seco ou tendência a seco**.

Bacia do Rio Aripuanã



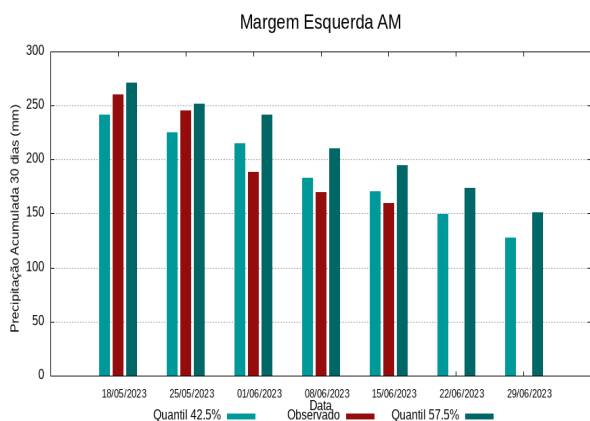
O período em análise indica chuvas com registros variando entre **40 e 52 mm** sendo considerados normais (referência quantis 42.5% e 57.5%). Em **15 de junho de 2023** foram observados **32 mm** de precipitação média acumulada sobre a bacia, no cálculo da média do índice de anomalia categorizada na área da bacia o valor de **-1.3**, classifica a bacia em condição de **seco**. Nas próximas semanas o comportamento climático indica **redução** dos volumes de chuva, o modelo de prognóstico subsazonal sugere um comportamento de **seco ou tendência a muito seco**.

Bacia do Rio Madeira



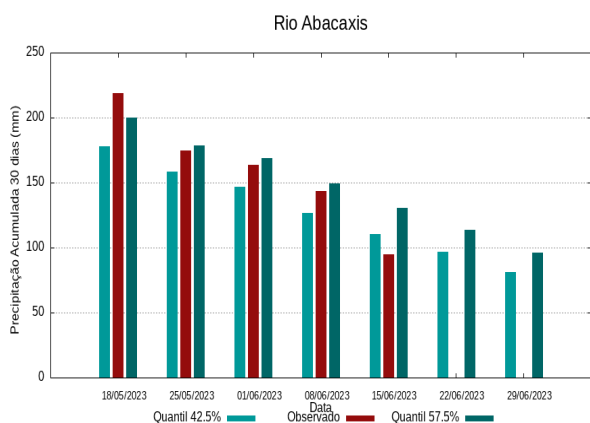
O período em análise indica chuvas com registros variando entre **79 e 92 mm** sendo considerados normais (referência quantis 42.5% e 57.5%). Em **15 de junho de 2023** foram observados **94 mm** de precipitação média acumulada sobre a bacia, no cálculo da média do índice de anomalia categorizada na área da bacia o valor de **0.2**, classifica a bacia em condição de **normalidade**. Nas próximas semanas o comportamento climático indica **redução** dos volumes de chuva, o modelo de prognóstico subsazonal sugere um comportamento **próximo da normalidade ou tendência a seco**.

Bacias da margem esquerda do Rio Amazonas (Amazonas)



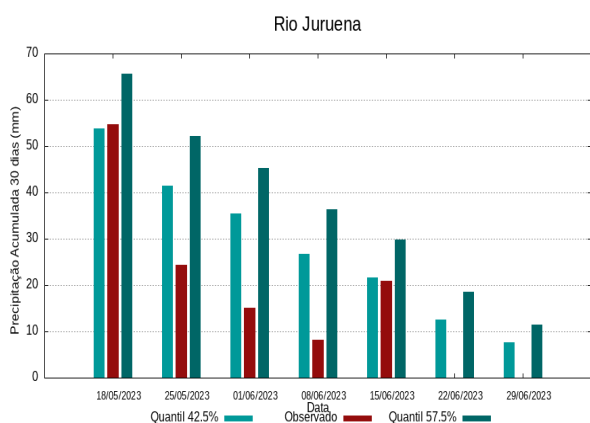
O período em análise indica chuvas com registros variando entre **170 e 195 mm** sendo considerados normais (referência quantis 42.5% e 57.5%). Em **15 de junho de 2023** foram observados **159 mm** de precipitação média acumulada sobre a bacia, no cálculo da média do índice de anomalia categorizada na área da bacia o valor de **-0.8**, classifica a bacia em condição de **tendência a seco**. Nas próximas semanas o comportamento climático indica **redução** dos volumes de chuva, o modelo de prognóstico subsazonal sugere um comportamento **próximo da normalidade ou tendência a seco**.

Bacia do Rio Abacaxis



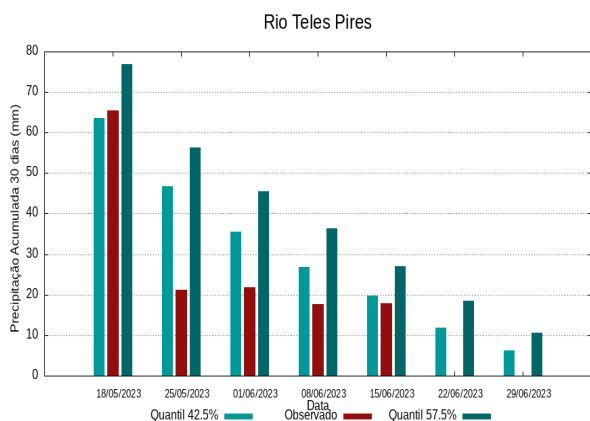
O período em análise indica chuvas com registros variando entre **110 e 130 mm** sendo considerados normais (referência quantis 42.5% e 57.5%). Em **15 de junho de 2023** foram observados **95 mm** de precipitação média acumulada sobre a bacia, no cálculo da média do índice de anomalia categorizada na área da bacia o valor de **-0.9**, classifica a bacia em condição de **tendência a seco**. Nas próximas semanas o comportamento climático indica **redução** dos volumes de chuva, o modelo de prognóstico subsazonal sugere um comportamento **próximo da normalidade ou tendência a seco**.

Bacia do Rio Juruena



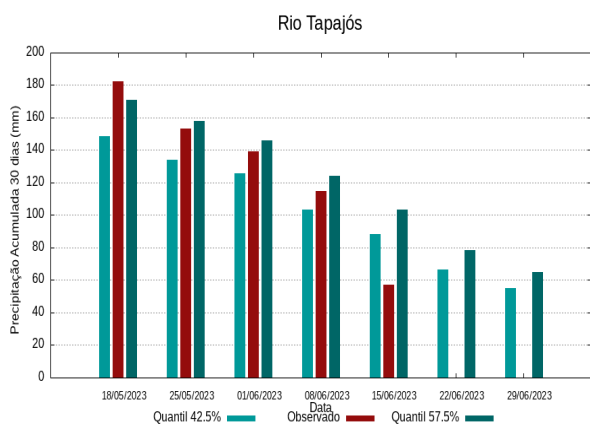
O período em análise indica chuvas com registros variando entre **22 e 30 mm** sendo considerados normais (referência quantis 42.5% e 57.5%). Em **15 de junho de 2023** foram observados **21 mm** de precipitação média acumulada sobre a bacia, no cálculo da média do índice de anomalia categorizada na área da bacia o valor de **-0.7**, classifica a bacia em condição de **tendência a seco**. Nas próximas semanas o comportamento climático indica **redução** dos volumes de chuva, o modelo de prognóstico subsazonal sugere um comportamento **próximo da normalidade ou tendência a seco**.

Bacia do Rio Teles Pires



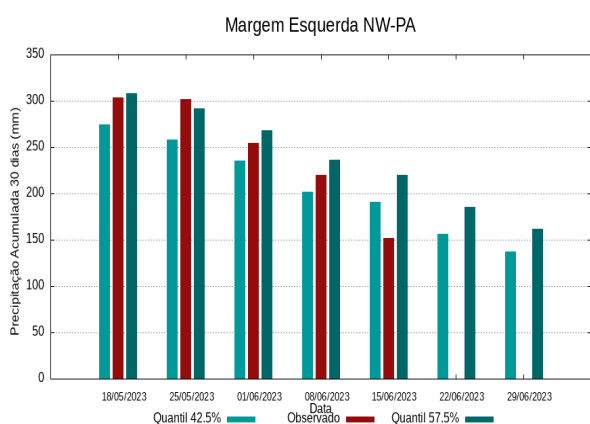
O período em análise indica chuvas com registros variando entre **20 e 27 mm** sendo considerados normais (referência quantis 42.5% e 57.5%). Em **15 de junho de 2023** foram observados **18 mm** de precipitação média acumulada sobre a bacia, no cálculo da média do índice de anomalia categorizada na área da bacia o valor de **-0.8**, classifica a bacia em condição de **tendência a seco**. Nas próximas semanas o comportamento climático indica **redução** dos volumes de chuva, o modelo de prognóstico subsazonal sugere um comportamento **seco ou tendência a muito seco**.

Bacia do Rio Tapajós



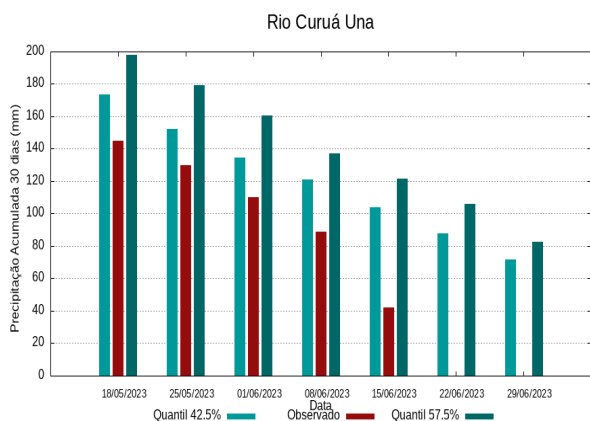
O período em análise indica chuvas com registros variando entre **88 e 104 mm** sendo considerados normais (referência quantis 42.5% e 57.5%). Em **15 de junho de 2023** foram observados **57 mm** de precipitação média acumulada sobre a bacia, no cálculo da média do índice de anomalia categorizada na área da bacia o valor de **-1.8**, classifica a bacia em condição de **tendência a muito seco**. Nas próximas semanas o comportamento climático indica **redução** dos volumes de chuva, o modelo de prognóstico subsazonal sugere um comportamento **seco ou tendência a muito seco**.

Bacias da margem esquerda do Rio Amazonas (noroeste do Pará)



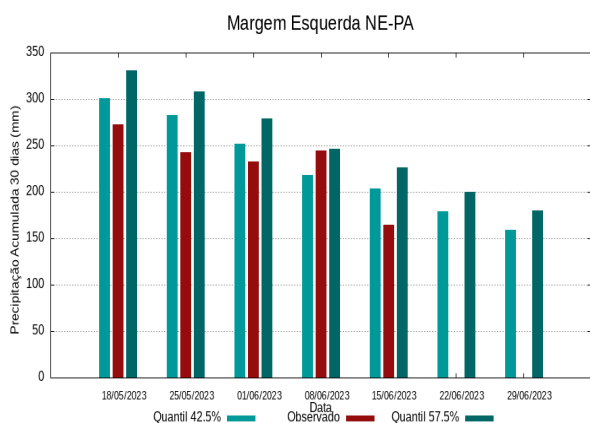
O período em análise indica chuvas com registros variando entre **191 e 220 mm** sendo considerados normais (referência quantis 42.5% e 57.5%). Em **15 de junho de 2023** foram observados **151 mm** de precipitação média acumulada sobre a bacia, no cálculo da média do índice de anomalia categorizada na área da bacia o valor de **-1.4**, classifica a bacia em condição de **seco**. Nas próximas semanas o comportamento climático indica **redução** dos volumes de chuva, o modelo de prognóstico subsazonal sugere um comportamento **seco ou tendência a muito seco**.

Bacia do Rio Curuá Una



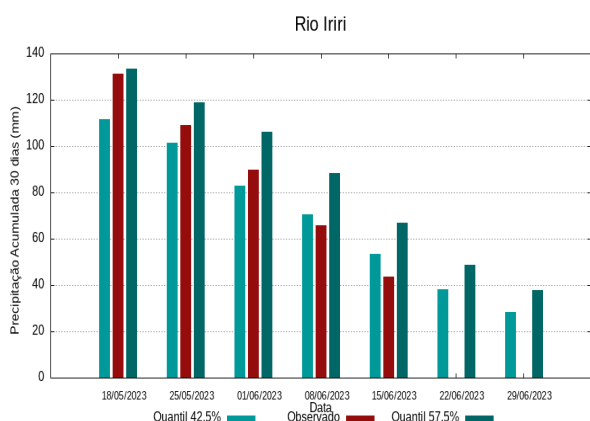
O período em análise indica chuvas com registros variando entre **104 e 122 mm** sendo considerados normais (referência quantis 42.5% e 57.5%). Em **15 de junho de 2023** foram observados **42 mm** de precipitação média acumulada sobre a bacia, no cálculo da média do índice de anomalia categorizada na área da bacia o valor de **-2.5**, classifica a bacia em condição de **tendência a extremamente seco**. Nas próximas semanas o comportamento climático indica **redução** dos volumes de chuva, o modelo de prognóstico subsazonal sugere um comportamento **muito seco ou tendência a extremamente seco**.

Bacias da margem esquerda do Rio Amazonas (nordeste do PA)



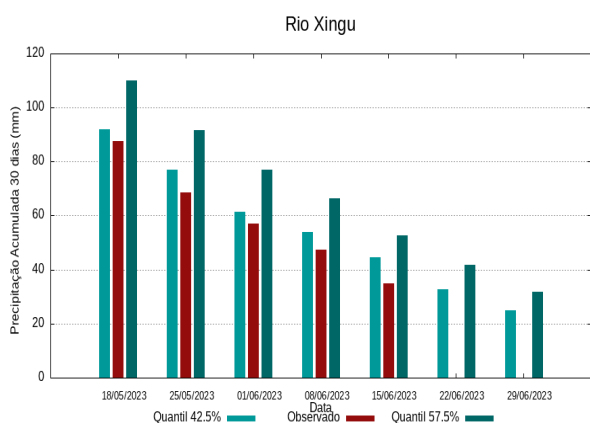
O período em análise indica chuvas com registros variando entre **204 e 227 mm** sendo considerados normais (referência quantis 42.5% e 57.5%). Em **15 de junho de 2023** foram observados **165 mm** de precipitação média acumulada sobre a bacia, no cálculo da média do índice de anomalia categorizada na área da bacia o valor de **-1.3**, classifica a bacia em condição de **seco**. Nas próximas semanas o comportamento climático indica **redução** dos volumes de chuva, o modelo de prognóstico subsazonal sugere um comportamento **seco ou tendência a muito seco**.

Bacia do Rio Iriri



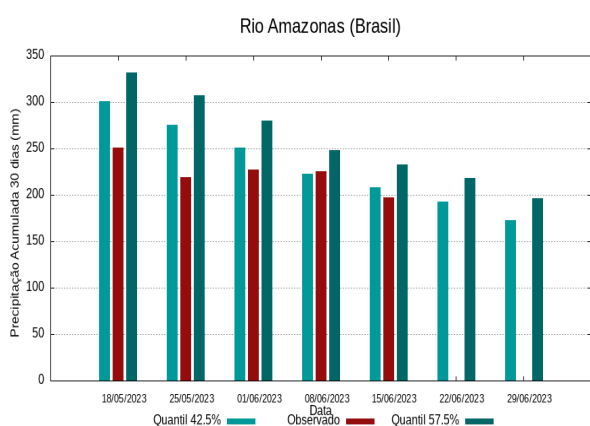
O período em análise indica chuvas com registros variando entre **53 e 67 mm** sendo considerados normais (referência quantis 42.5% e 57.5%). Em **15 de junho de 2023** foram observados **44 mm** de precipitação média acumulada sobre a bacia, no cálculo da média do índice de anomalia categorizada na área da bacia o valor de **-1.3**, classifica a bacia em condição de **seco**. Nas próximas semanas o comportamento climático indica **redução** dos volumes de chuva, o modelo de prognóstico subsazonal sugere um comportamento **seco ou tendência a muito seco**.

Bacia do Rio Xingu



O período em análise indica chuvas com registros variando entre **44 e 53 mm** sendo considerados normais (referência quantis 42.5% e 57.5%). Em **15 de junho de 2023** foram observados **35 mm** de precipitação média acumulada sobre a bacia, no cálculo da média do índice de anomalia categorizada na área da bacia o valor de **-1.2**, classifica a bacia em condição de **seco**. Nas próximas semanas o comportamento climático indica **redução** dos volumes de chuva, o modelo de prognóstico subsazonal sugere um comportamento **seco ou tendência a seco**.

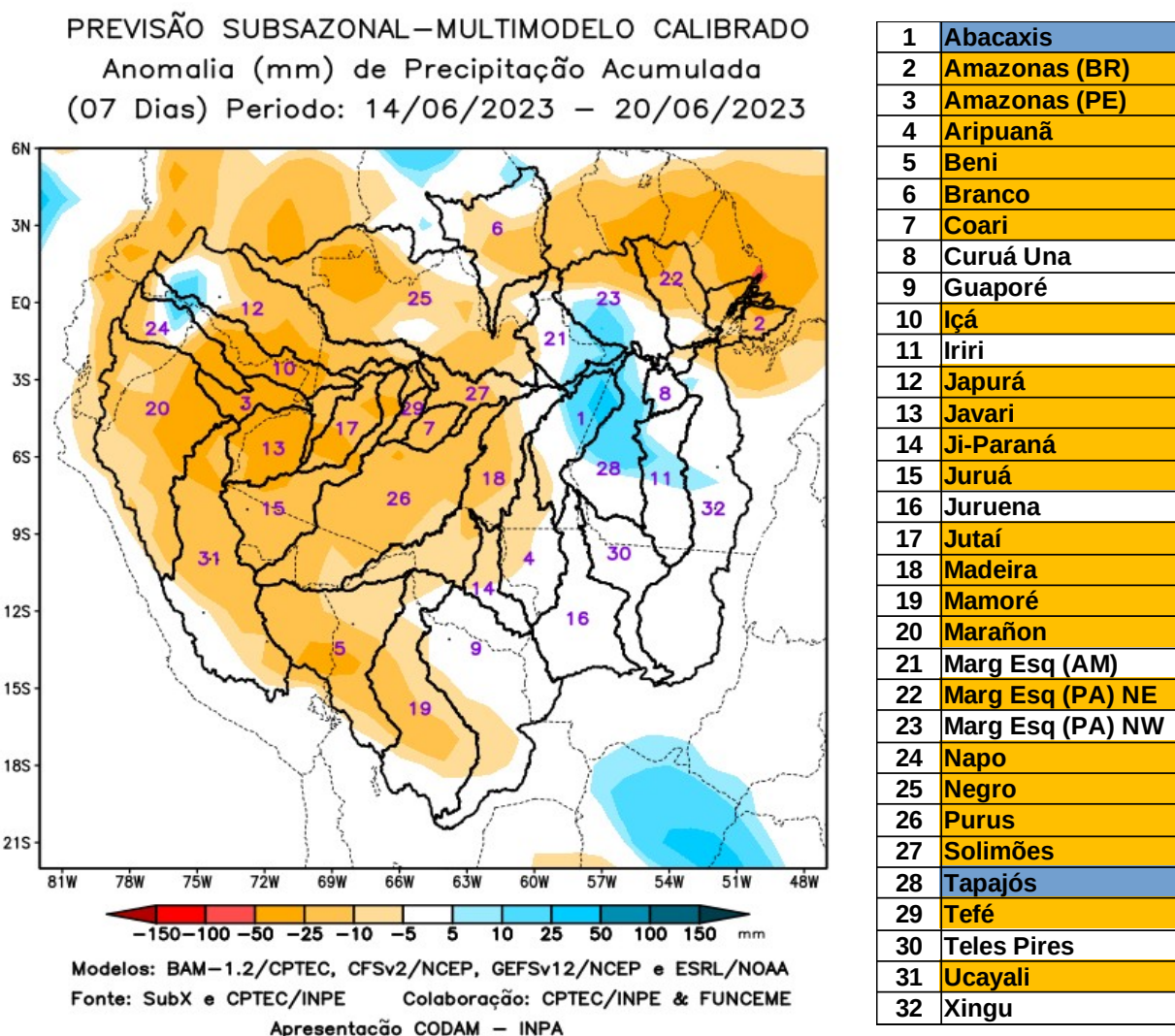
Curso principal do Rio Amazonas (Brasil)



O período em análise indica chuvas com registros variando entre **208 e 233 mm** sendo considerados normais (referência quantis 42.5% e 57.5%). Em **15 de junho de 2023** foram observados **197 mm** de precipitação média acumulada sobre a bacia, no cálculo da média do índice de anomalia categorizada na área da bacia o valor de **-0.6**, classifica a bacia em condição de **tendência a seco**. Nas próximas semanas o comportamento climático indica **redução** dos volumes de chuva, o modelo de prognóstico subsazonal sugere um comportamento **próximo da normalidade ou tendência a seco**.

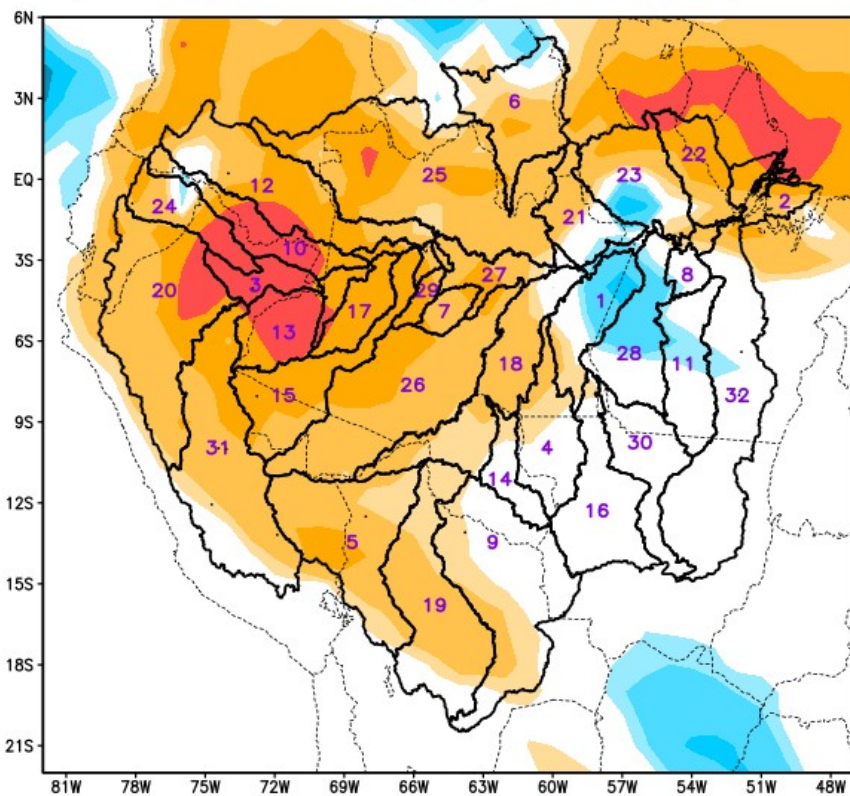
Previsão multi-modelo subsazonal CPTEC/INPE-FUNCEME produzida em 14/06/2023 para os próximos 7 e 14 dias.

A previsão multi-modelo subsazonal calibrada CPTEC/INPE-FUNCEME é gerada através de cooperação científica entre o CPTEC/INPE e a FUNCEME, sendo proveniente do conjunto de 4 modelos globais (um modelo brasileiro, o BAM-1.2/CPTEC, e três modelos dos EUA, CFSv2/NCEP, GFSv12/NCEP e ESRL/NOAA, estes três últimos do projeto SubX). As anomalias de precipitação previstas são determinadas em relação ao período climatológico de 1999 a 2016. A seguir são apresentadas as saídas para o intervalo de previsão de 07 e 14 dias detalhando o comportamento previsto sobre as bacias de interesse.



A Figura acima, apresenta o prognóstico para o intervalo de 7 dias entre 14/06/2023 e 20/06/2023, com previsão de chuvas acima (azul) dos valores climatológicos do período caracterizando apenas as bacia do Abacaxis e do Tapajós. Previsão de deficit de precipitação (laranja), predominando em grande parte da área monitorada, sobre o curso principal do Amazonas em território brasileiro e peruano, bacias do Aripuanã, Beni, Branco, Coari, Içá, Japurá, Javari, Ji-Paraná, Juruá, Jutaí, Madeira, Mamoré, Marañon, margem esquerda do Amazonas no nordeste do Pará, Napo, Negro, Purus, Tefé, Ucayali e curso principal do Solimões. Demais bacias, alternando áreas de anomalias positivas e negativas, com previsão de chuvas próximas (branco) a climatologia do período.

PREVISÃO SUBSAZONAL – MULTIMODELO CALIBRADO
Anomalia (mm) de Precipitação Acumulada
(14 Dias) Período: 14/06/2023 – 27/06/2023



Modelos: BAM-1.2/CPTEC, CFSv2/NCEP, GFSv12/NCEP e ESRL/NOAA
Fonte: SubX e CPTEC/INPE Colaboração: CPTEC/INPE & FUNCEME
Apresentação CODAM – INPA

| | |
|----|------------------|
| 1 | Abacaxis |
| 2 | Amazonas (BR) |
| 3 | Amazonas (PE) |
| 4 | Aripuanã |
| 5 | Beni |
| 6 | Branco |
| 7 | Coari |
| 8 | Curuá Una |
| 9 | Guaporé |
| 10 | Içá |
| 11 | Iriri |
| 12 | Japurá |
| 13 | Javari |
| 14 | Ji-Paraná |
| 15 | Juruá |
| 16 | Juruena |
| 17 | Jutaí |
| 18 | Madeira |
| 19 | Mamoré |
| 20 | Marañon |
| 21 | Marg Esq (AM) |
| 22 | Marg Esq (PA) NE |
| 23 | Marg Esq (PA) NW |
| 24 | Napo |
| 25 | Negro |
| 26 | Purus |
| 27 | Solimões |
| 28 | Tapajós |
| 29 | Tefé |
| 30 | Teles Pires |
| 31 | Ucayali |
| 32 | Xingu |

A Figura acima, apresenta o prognóstico para o intervalo de 14 dias entre 14/06/2023 e 27/06/2023, com previsão de chuvas acima (azul) dos valores climatológicos do período caracterizando apenas as bacia do Abacaxis e do Tapajós. Previsão de deficit de precipitação (laranja), predominando em grande parte da área monitorada, sobre o curso principal do Amazonas em território brasileiro e peruano, bacias do Aripuanã, Beni, Branco, Coari, Guaporé, Içá, Japurá, Javari, Juruá, Jutaí, Madeira, Mamoré, Marañon, margem esquerda do Amazonas no nordeste do Amazonas e do Pará, Napo, Negro, Purus, Tefé, Ucayali e curso principal do Solimões. Demais bacias, alternando áreas de anomalias positivas e negativas, com previsão de chuvas próximas (branco) a climatologia do período.

Valores de Referência para a precipitação acumulada em 30 dias na data da análise.

A Tabela 1, mostra os valores de precipitação média acumulada (mm de chuva) por bacia, tomando como base as estimativas de precipitação por meio de imagens de satélite, produto denominado MERGE/GPM, disponibilizado pelo Instituto Nacional de Pesquisas Espaciais, no período 2000 – 2022, levando-se em conta o limite geográfico das bacias hidrográficas da Amazônia Ocidental, para tanto foi utilizada a técnica de quantis, por se mostrar uma ferramenta adequada e precisa para categorizar precipitação e anomalias de variáveis discretas, foram adotados os seguintes limites 5%, 12.5%, 20%, 27.5%, 35%, 42.5%, 57.5%, 65%, 72.5%, 80%, 87.5% e 95% buscando estratificar a técnica e permitir uma categorização mais detalhada das condições em cada bacia monitorada.

| 15/06/2023 | Quantis para categorização de anomalias de precipitação | | | | | | | | | | | |
|------------------|---|-------|-------|-------|-------|-------|-------|-------|-------|-------|-------|-------|
| | 5.0% | 12.5% | 20.0% | 27.5% | 35.0% | 42.5% | 57.5% | 65.0% | 72.5% | 80.0% | 87.5% | 95.0% |
| Abacaxis | 50 | 61 | 78 | 92 | 98 | 110 | 130 | 146 | 154 | 171 | 194 | 211 |
| Amazonas (BR) | 95 | 117 | 159 | 179 | 189 | 208 | 233 | 249 | 258 | 281 | 316 | 340 |
| Amazonas (PE) | 137 | 147 | 165 | 179 | 185 | 197 | 215 | 230 | 240 | 265 | 309 | 367 |
| Aripuanã | 13 | 16 | 23 | 30 | 33 | 40 | 52 | 60 | 64 | 75 | 92 | 105 |
| Beni | 23 | 28 | 37 | 44 | 48 | 56 | 69 | 79 | 85 | 98 | 120 | 138 |
| Branco | 150 | 170 | 202 | 232 | 246 | 272 | 311 | 339 | 354 | 388 | 439 | 476 |
| Coari | 90 | 97 | 108 | 119 | 124 | 136 | 159 | 174 | 181 | 207 | 246 | 268 |
| Curuá Una | 42 | 52 | 72 | 86 | 92 | 104 | 122 | 135 | 142 | 159 | 180 | 191 |
| Guaporé | 10 | 13 | 19 | 25 | 27 | 33 | 42 | 49 | 54 | 67 | 86 | 102 |
| Içá | 160 | 174 | 196 | 216 | 225 | 242 | 267 | 285 | 295 | 319 | 351 | 376 |
| Iriri | 23 | 28 | 35 | 42 | 46 | 53 | 67 | 79 | 85 | 99 | 120 | 135 |
| Japurá | 179 | 195 | 219 | 239 | 248 | 266 | 293 | 315 | 327 | 355 | 394 | 427 |
| Javari | 91 | 100 | 116 | 129 | 135 | 148 | 166 | 179 | 186 | 201 | 227 | 251 |
| Ji-Paraná | 10 | 13 | 19 | 24 | 27 | 33 | 44 | 53 | 57 | 68 | 85 | 98 |
| Juruá | 63 | 72 | 83 | 93 | 98 | 108 | 126 | 139 | 146 | 164 | 189 | 206 |
| Juruena | 5 | 7 | 11 | 15 | 17 | 22 | 30 | 36 | 40 | 49 | 64 | 77 |
| Jutaí | 109 | 120 | 136 | 146 | 152 | 163 | 180 | 194 | 202 | 221 | 247 | 272 |
| Madeira | 39 | 45 | 55 | 65 | 70 | 79 | 92 | 103 | 109 | 124 | 147 | 167 |
| Mamoré | 18 | 22 | 28 | 36 | 40 | 48 | 60 | 71 | 76 | 92 | 115 | 132 |
| Marañon | 73 | 81 | 96 | 108 | 114 | 126 | 143 | 155 | 162 | 178 | 204 | 226 |
| Marg Esq (AM) | 79 | 98 | 124 | 145 | 155 | 170 | 195 | 213 | 223 | 247 | 283 | 312 |
| Marg Esq (PA) NE | 108 | 124 | 151 | 177 | 187 | 204 | 227 | 242 | 251 | 275 | 307 | 331 |
| Marg Esq (PA) NW | 81 | 102 | 135 | 160 | 170 | 191 | 220 | 241 | 253 | 280 | 319 | 347 |
| Napo | 151 | 165 | 196 | 220 | 231 | 250 | 280 | 302 | 315 | 346 | 385 | 416 |
| Negro | 177 | 195 | 221 | 244 | 254 | 272 | 301 | 323 | 335 | 363 | 402 | 433 |
| Purus | 42 | 49 | 58 | 67 | 71 | 80 | 94 | 104 | 111 | 125 | 145 | 160 |
| Solimões | 115 | 127 | 145 | 160 | 167 | 180 | 201 | 219 | 230 | 255 | 288 | 311 |
| Tapajós | 39 | 47 | 60 | 71 | 77 | 88 | 104 | 116 | 124 | 144 | 170 | 191 |
| Tefé | 105 | 114 | 128 | 141 | 147 | 161 | 186 | 204 | 216 | 240 | 269 | 290 |
| Teles Pires | 5 | 7 | 10 | 14 | 15 | 20 | 27 | 33 | 36 | 44 | 60 | 72 |
| Ucayali | 29 | 34 | 42 | 50 | 53 | 61 | 71 | 80 | 84 | 96 | 112 | 124 |
| Xingu | 20 | 25 | 31 | 37 | 39 | 44 | 53 | 60 | 64 | 76 | 95 | 112 |

Tabela 1. Quantis de precipitação acumulada (mm) em 30 dias (17 de maio a 15 de junho), Climatologia do período (2000 - 2022) dados MERGE/GPM – INPE/CPTEC.

Categorização das anomalias de precipitação

Utilizando os valores constantes na tabela anterior é possível categorizar a precipitação observada no ano corrente em relação aos valores observados nos registros anteriores desde o início da série disponível, assim os valores observados inferiores ao quantil de 5% caracterizam a bacia em condição de extremamente seco, entre 5 e 12.5% em condição de tendência a extremamente seco, entre 12.5 e 20% condição de muito seco, entre 20 e 27.5% tendência a muito seco, entre 27.5 e 35% condição de seco, entre 35 e 42.5 condição de tendência a seco, valores entre 42.5 e 57.5 definem a condição de normalidade, valores entre 57.5 e 65% condição de tendência a chuvoso, entre 65 e 72.5% condição de chuvoso, entre 72.5 e 80% tendência a muito chuvoso, entre 80 e 87.5 condição de muito chuvoso, entre 87.5 e 95% indicam tendência a extremamente chuvoso e finalmente valores superiores a 95% definem a bacia em condição de extremamente chuvoso, conforme legenda abaixo.

| QUANTIL | 0% | 5% | 12.5% | 20.0% | 27.5% | 35.0% | 42.5% | 50.0% | 57.5% | 65.0% | 72.5% | 80.0% | 87.5% | 95% - 100% |
|-----------|-------------------|-------------------------------|------------|------------------------|-------|------------------|--------|---------------------|---------|---------------------------|---------------|----------------------------------|----------------------|------------|
| ÍNDICE | -3.0 | -2.5 | -2.0 | -1.5 | -1.0 | -0.5 | 0.0 | 0.5 | 1.0 | 1.5 | 2.0 | 2.5 | 3.0 | |
| CATEGORIA | EXTREMAMENTE SECO | TENDÊNCIA A EXTREMAMENTE SECO | MUITO SECO | TENDÊNCIA A MUITO SECO | SECO | TENDÊNCIA A SECO | NORMAL | TENDÊNCIA A CHUVOSO | CHUVOSO | TENDÊNCIA A MUITO CHUVOSO | MUITO CHUVOSO | TENDÊNCIA A EXTREMAMENTE CHUVOSO | EXTREMAMENTE CHUVOSO | |

As tabelas a seguir apresentam (Tabela 2A) a precipitação média observada (mm) em cada bacia tomando como referência as estimativas de precipitação por satélite utilizando a técnica MERGE, disponibilizadas em <http://ftp.cptec.inpe.br/modelos/tempo/MERGE/GPM/DAILY/> acumuladas em 30 dias nas datas indicadas, os valores médios das anomalias categorizadas (Tabela 2B) foram estimados com base no valor de anomalia de cada pixel na área da bacia monitorada, calculados conforme metodologia descrita no item anterior, nas mesmas datas do monitoramento da precipitação, a escala de cores das anomalias segue a legenda descrita.

| | Precipitação acumulada média na bacia (mm) | | | | |
|------------------|--|------------|------------|------------|------------|
| | 18/05/2023 | 25/05/2023 | 01/06/2023 | 08/06/2023 | 15/06/2023 |
| Abacaxis | 219 | 174 | 164 | 143 | 95 |
| Amazonas (BR) | 251 | 219 | 227 | 226 | 197 |
| Amazonas (PE) | 371 | 350 | 278 | 262 | 232 |
| Aripuanã | 107 | 65 | 52 | 33 | 32 |
| Beni | 100 | 101 | 122 | 62 | 111 |
| Branco | 236 | 225 | 247 | 282 | 269 |
| Coari | 226 | 222 | 189 | 176 | 154 |
| Curuá Una | 145 | 130 | 110 | 89 | 42 |
| Guaporé | 46 | 33 | 58 | 40 | 60 |
| Içá | 428 | 388 | 326 | 299 | 266 |
| Irirí | 131 | 109 | 90 | 66 | 44 |
| Japurá | 354 | 292 | 289 | 265 | 270 |
| Javari | 252 | 214 | 188 | 170 | 163 |
| Ji-Paraná | 94 | 61 | 52 | 15 | 25 |
| Juruá | 161 | 151 | 156 | 111 | 132 |
| Juruena | 55 | 24 | 15 | 8 | 21 |
| Jutaí | 258 | 242 | 237 | 210 | 188 |
| Madeira | 141 | 124 | 121 | 99 | 94 |
| Mamoré | 53 | 49 | 72 | 44 | 70 |
| Marañon | 101 | 98 | 110 | 114 | 123 |
| Marg Esq (AM) | 260 | 245 | 188 | 170 | 159 |
| Marg Esq (PA) NE | 273 | 243 | 232 | 245 | 165 |
| Marg Esq (PA) NW | 304 | 302 | 255 | 220 | 151 |
| Napo | 259 | 244 | 292 | 300 | 307 |
| Negro | 312 | 273 | 287 | 273 | 256 |
| Purus | 139 | 141 | 140 | 118 | 123 |
| Solimões | 277 | 247 | 235 | 211 | 173 |
| Tapajós | 182 | 153 | 139 | 115 | 57 |
| Tefé | 245 | 217 | 203 | 174 | 151 |
| Teles Pires | 66 | 21 | 22 | 18 | 18 |
| Ucayali | 75 | 71 | 79 | 45 | 61 |
| Xingu | 88 | 69 | 57 | 48 | 35 |

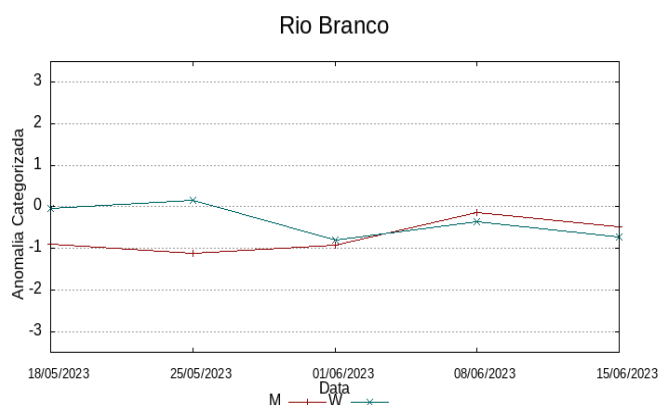
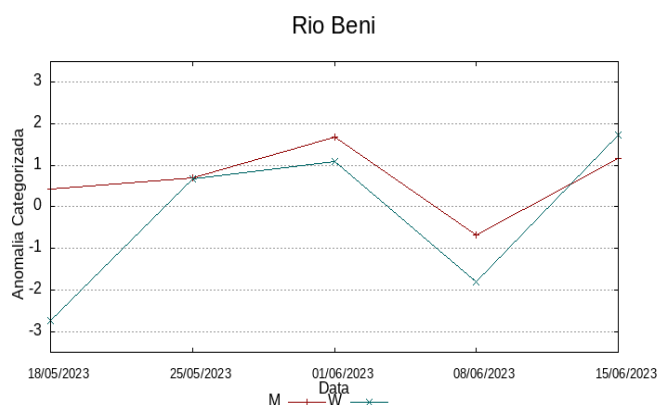
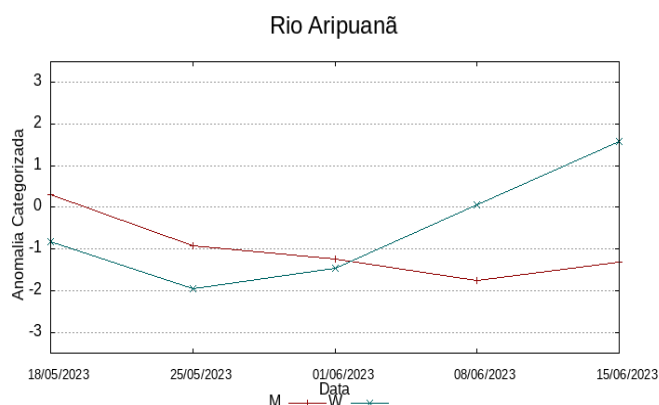
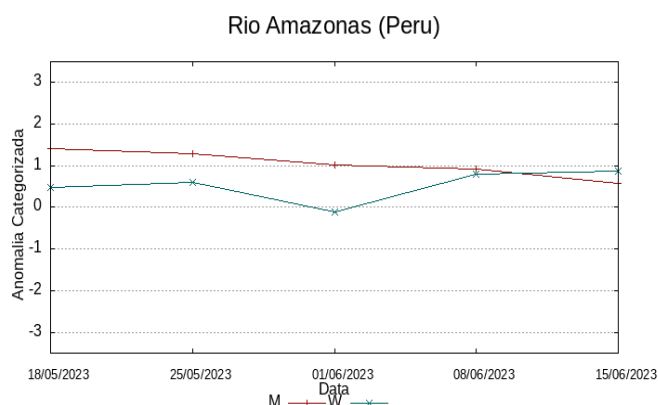
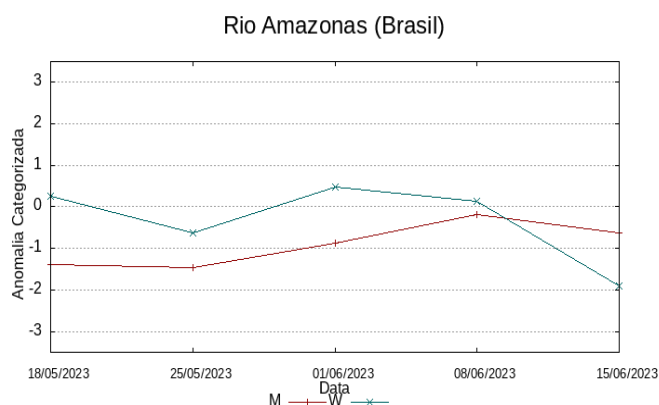
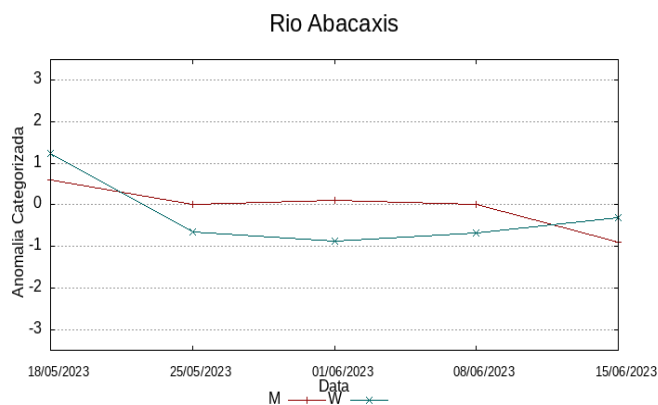
Tabela 2A. Precipitação acumulada em 30 dias (mm), dados MERGE/GPM – INPE/CPTEC.

| Anomalia categorizada média na bacia | | | | |
|--------------------------------------|------------|------------|------------|------------|
| 18/05/2023 | 25/05/2023 | 01/06/2023 | 08/06/2023 | 15/06/2023 |
| 0.6 | 0.0 | 0.1 | 0.0 | -0.9 |
| -1.4 | -1.5 | -0.9 | -0.2 | -0.6 |
| 1.4 | 1.3 | 1.0 | 0.9 | 0.6 |
| 0.3 | -0.9 | -1.2 | -1.7 | -1.3 |
| 0.4 | 0.7 | 1.7 | -0.7 | 1.2 |
| -0.9 | -1.1 | -0.9 | -0.1 | -0.5 |
| -0.3 | 0.5 | 0.2 | 0.5 | 0.0 |
| -1.3 | -1.2 | -1.4 | -1.6 | -2.5 |
| -0.8 | -1.3 | 0.3 | -0.4 | 0.7 |
| 1.4 | 1.3 | 0.9 | 0.6 | 0.2 |
| 0.1 | -0.3 | -0.4 | -0.9 | -1.3 |
| 0.2 | -0.3 | -0.3 | -0.7 | -0.3 |
| 0.9 | 0.0 | 0.1 | -0.2 | 0.2 |
| 0.5 | -0.5 | -0.5 | -2.2 | -1.2 |
| -0.6 | -0.3 | 0.4 | -0.7 | 0.6 |
| -0.6 | -1.8 | -2.1 | -2.3 | -0.7 |
| 0.6 | 0.6 | 0.9 | 0.7 | 0.6 |
| -0.4 | -0.3 | 0.0 | -0.5 | 0.2 |
| -0.9 | -0.7 | 0.4 | -1.2 | 0.2 |
| -2.1 | -2.0 | -1.3 | -1.3 | -1.0 |
| 0.0 | 0.1 | -1.1 | -0.8 | -0.8 |
| -1.2 | -1.5 | -1.0 | 0.1 | -1.3 |
| 0.2 | 0.5 | 0.0 | -0.1 | -1.4 |
| -0.6 | -0.8 | 0.3 | 0.5 | 0.6 |
| -0.3 | -0.9 | -0.5 | -0.5 | -0.8 |
| -0.5 | 0.2 | 0.8 | 0.5 | 1.2 |
| -0.1 | -0.2 | 0.1 | 0.0 | -0.7 |
| 0.5 | -0.1 | -0.2 | -0.4 | -1.8 |
| -0.5 | -0.2 | -0.2 | -0.5 | -0.9 |
| -0.4 | -2.3 | -1.7 | -1.4 | -0.8 |
| -0.7 | -0.6 | 0.2 | -2.0 | -1.1 |
| -0.7 | -1.2 | -1.1 | -1.2 | -1.2 |

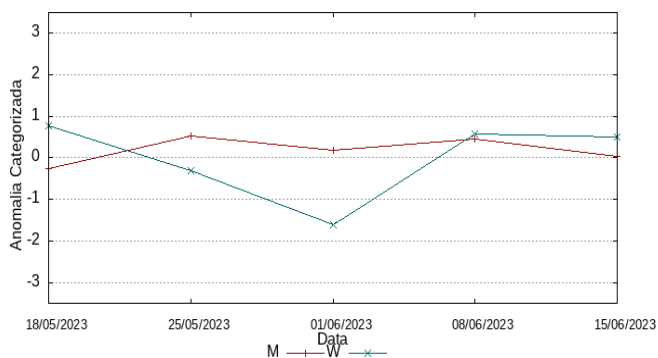
Tabela 2B. Anomalia Categorizada de Precipitação por quantis.

Comportamento das anomalias 07 e 30 dias observado nas semanas anteriores

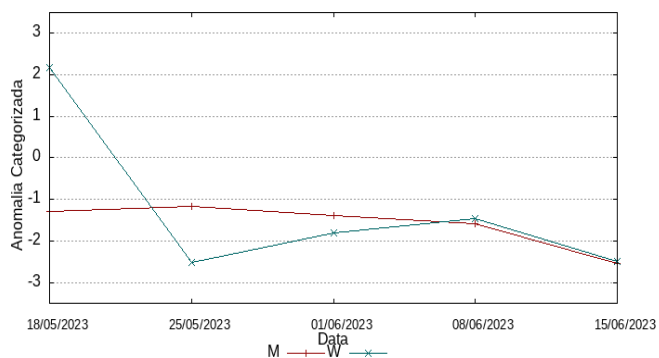
Os gráficos a seguir ilustram o comportamento do índice das anomalias de precipitação nas últimas semanas, linhas vermelhas mostram o comportamento de períodos de 30 dias e linhas em azul o comportamento em relação a períodos de 7 dias, atualizados semanalmente.



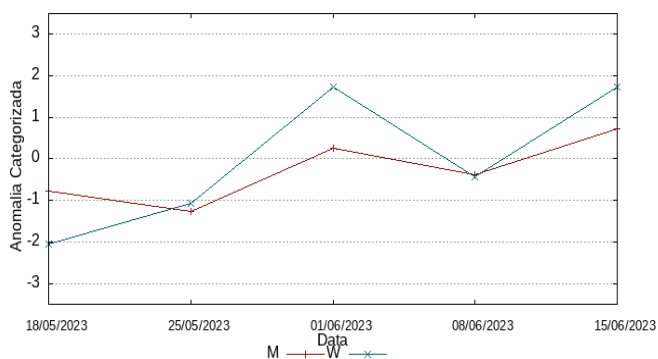
Rio Coari



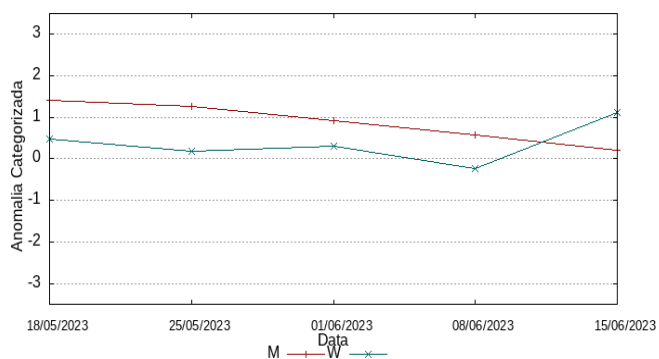
Rio Curuá Una



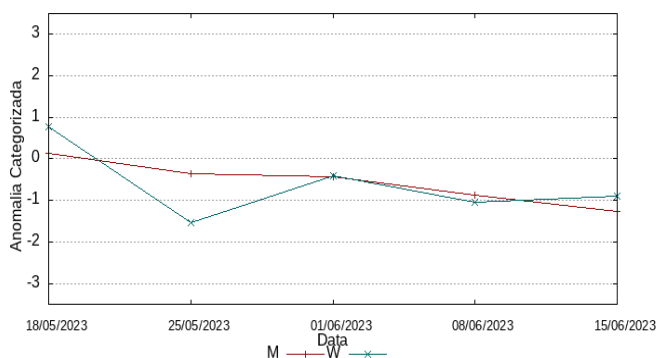
Rio Guaporé



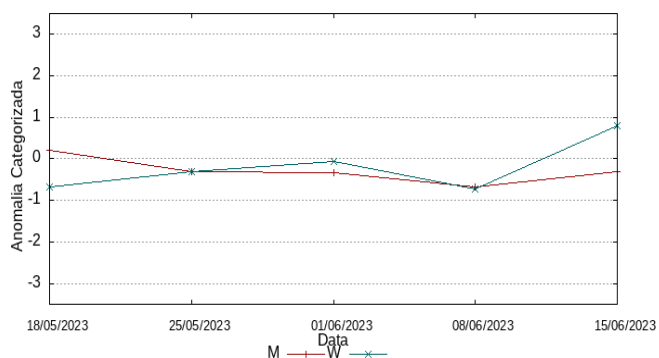
Rio Içá



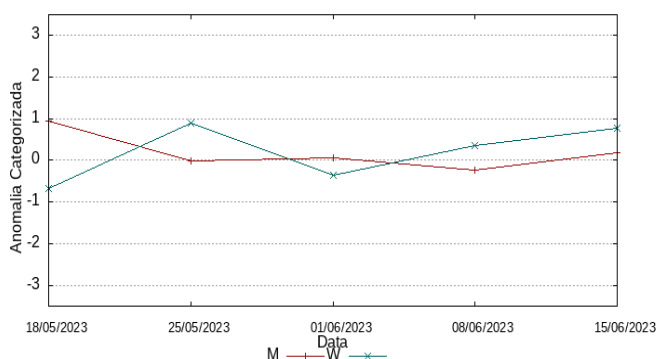
Rio Iriri



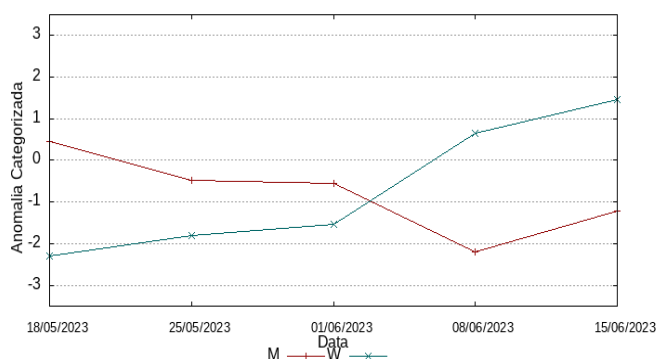
Rio Japurá



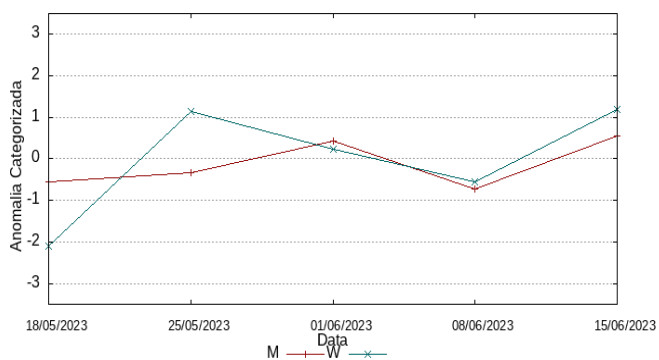
Rio Javari



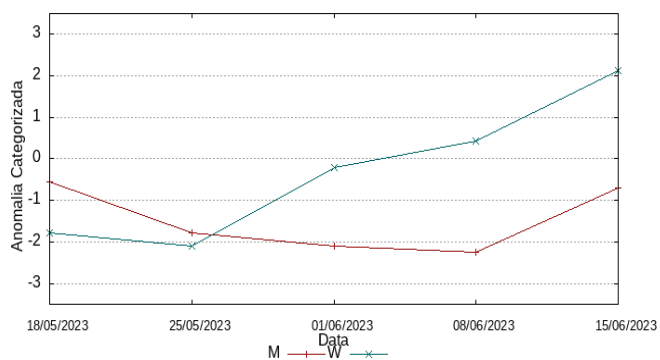
Rio Ji-Paraná



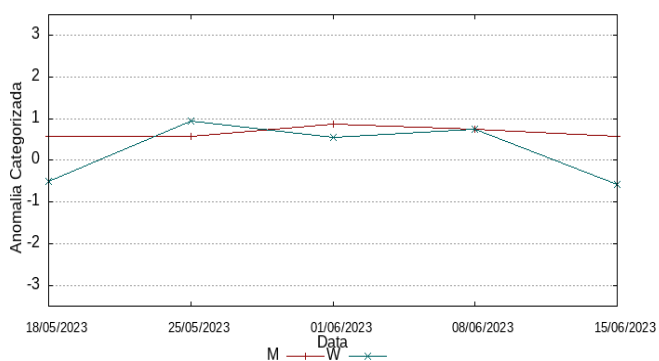
Rio Juruá



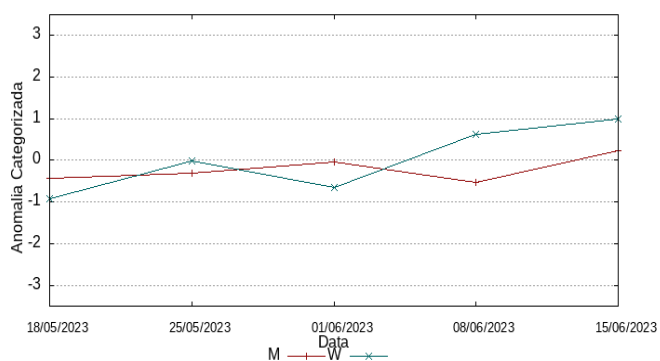
Rio Juruena



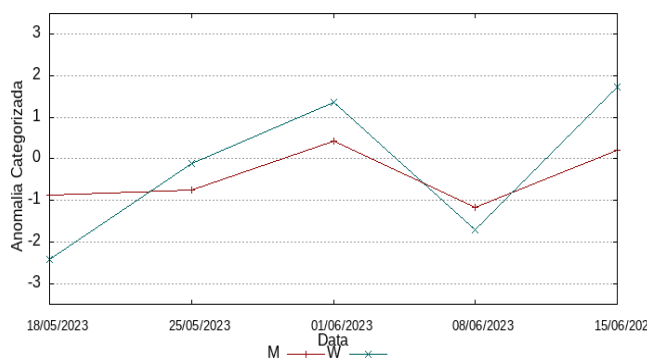
Rio Jutai



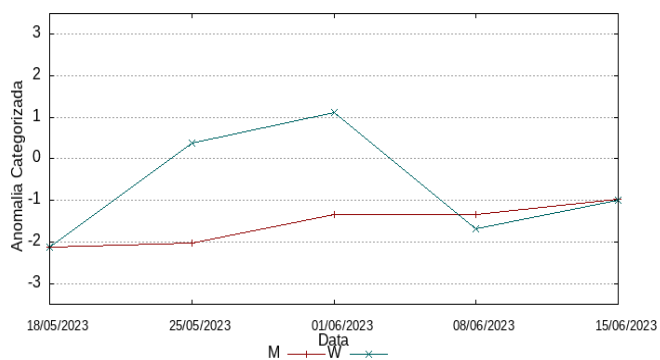
Rio Madeira



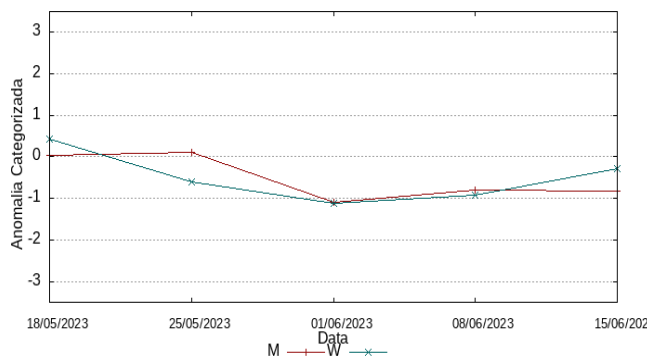
Rio Mamoré



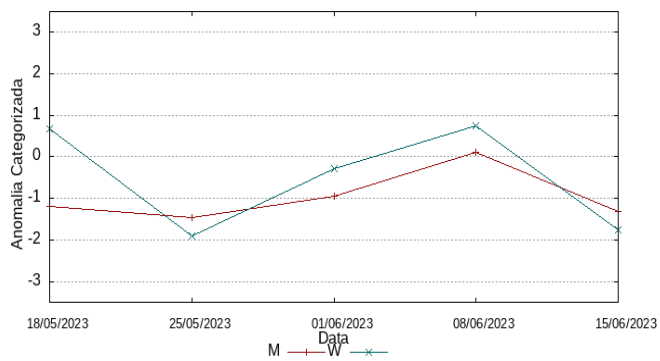
Rio Marañon



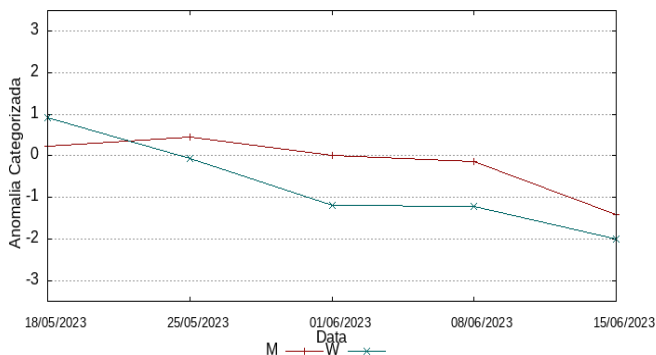
Margem Esquerda AM



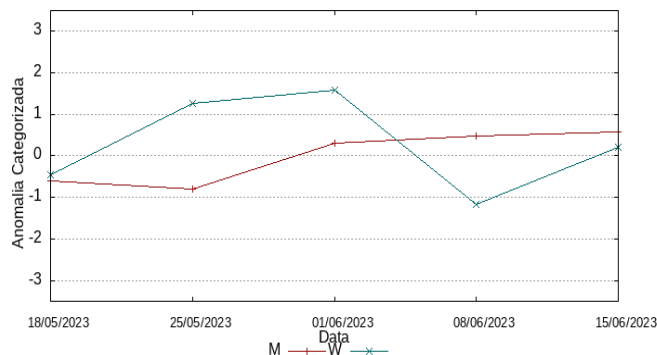
Margem Esquerda NE-PA



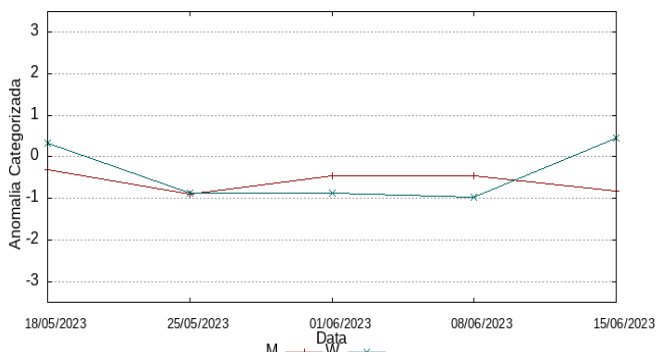
Margem Esquerda NW-PA



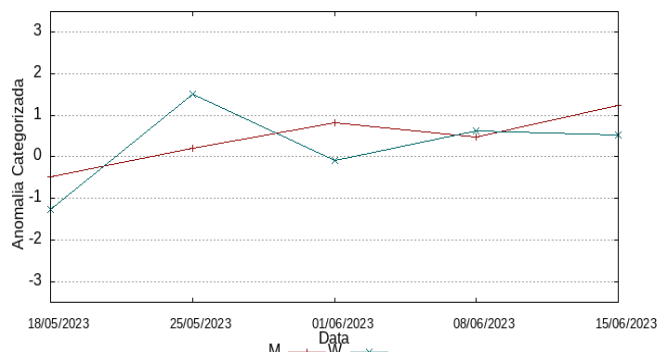
Rio Napo



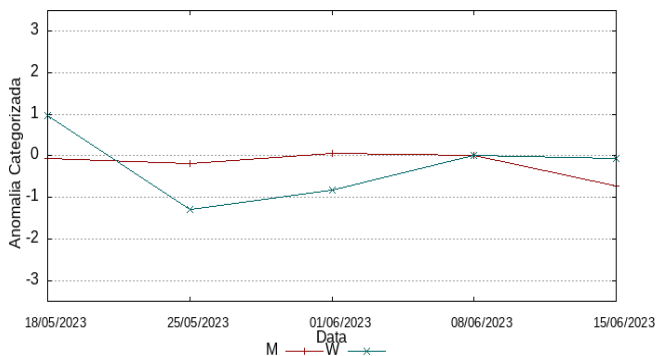
Rio Negro



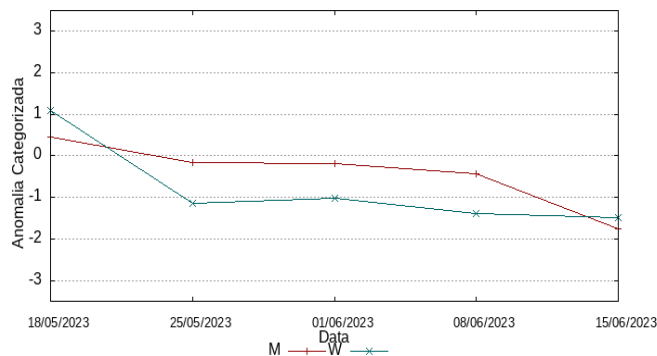
Rio Purus



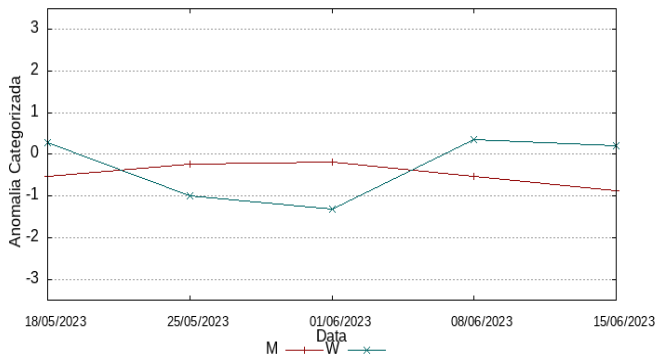
Rio Solimões (curso principal)



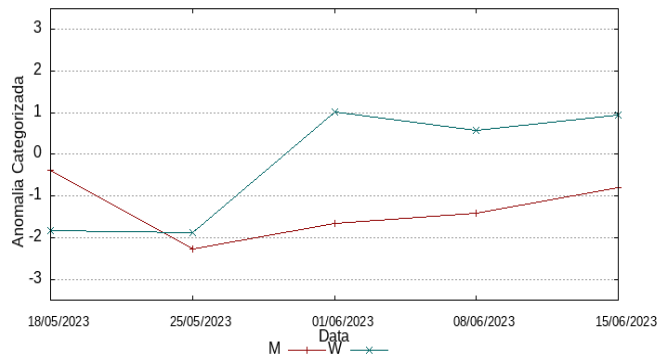
Rio Tapajos



Rio Tefé



Rio Teles-Pires



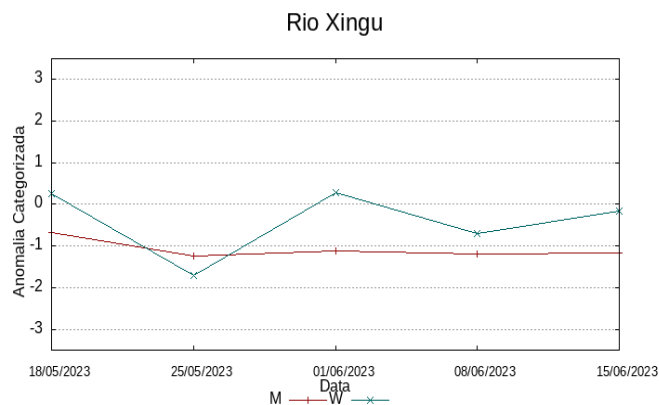
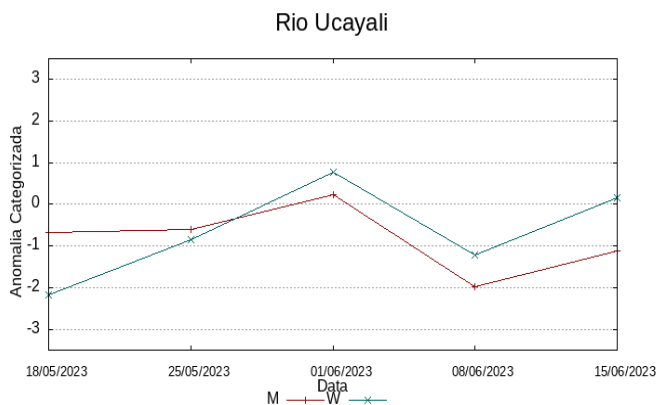
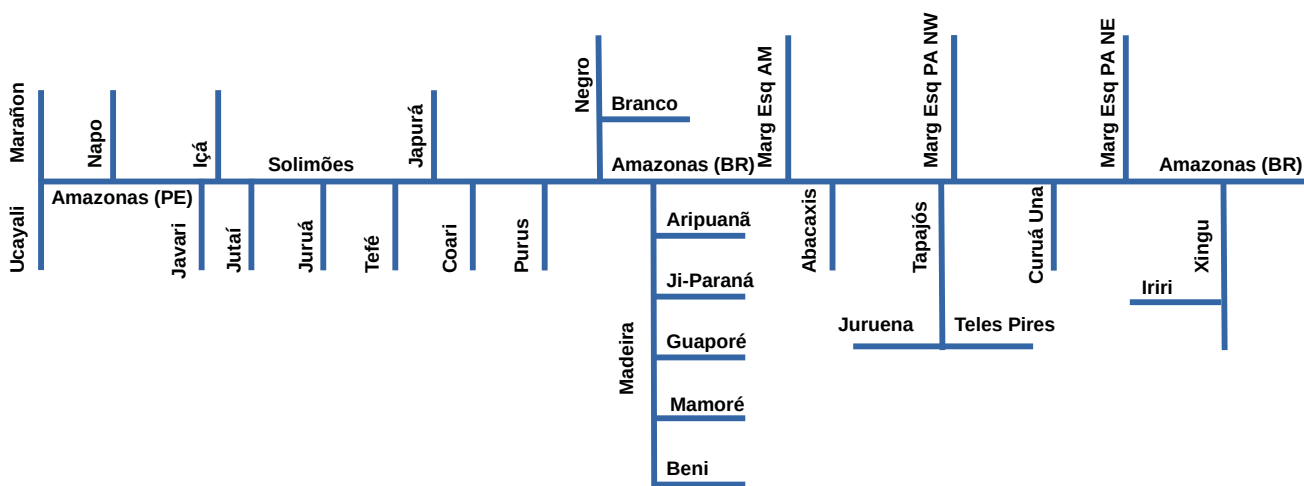


Diagrama unifilar das bacias representadas



Renato Cruz Senna

Pesquisador - CODAM

Meteorologista, CREA-AM 2880-D

Registro Nacional 040459935-4

Fone de contato +55 92 3643 3170

